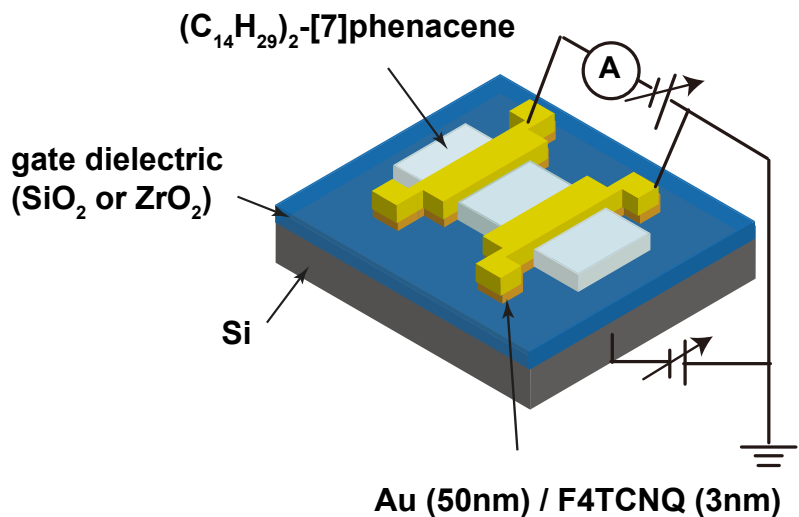


Fig. 1 Okamoto *et al.*

(a)



(b)

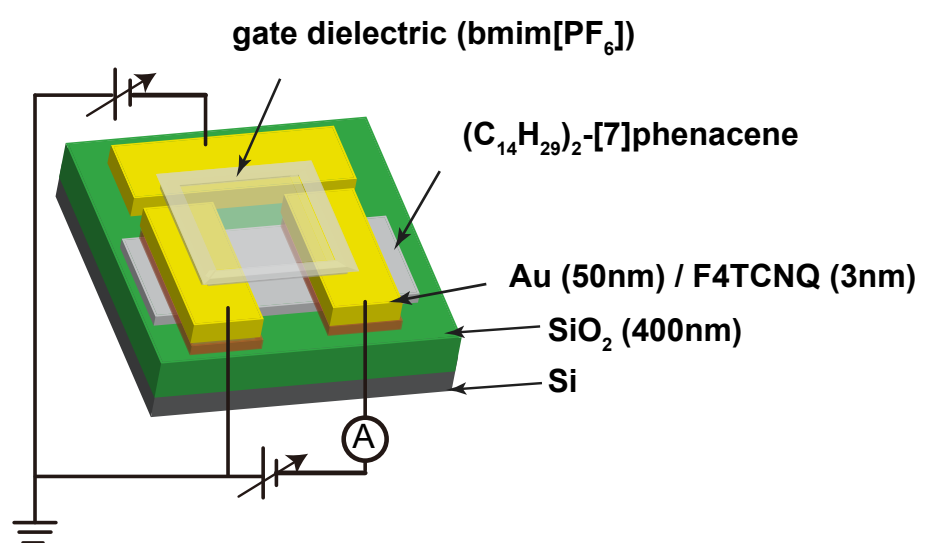


Fig. 2 Okamoto *et al.*

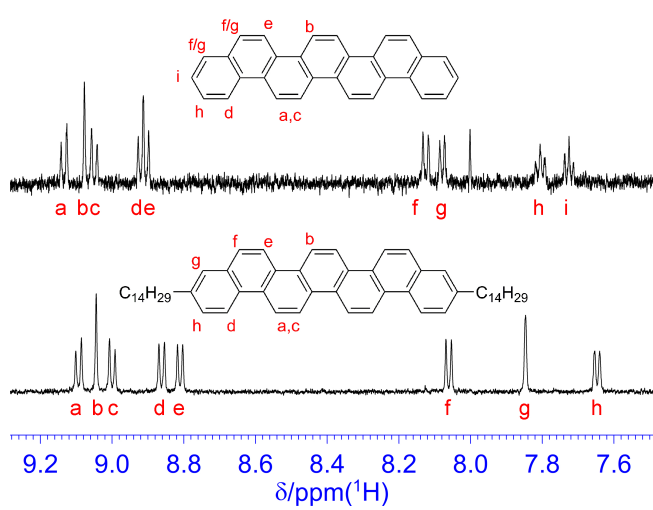


Fig. 3 Okamoto *et al.*

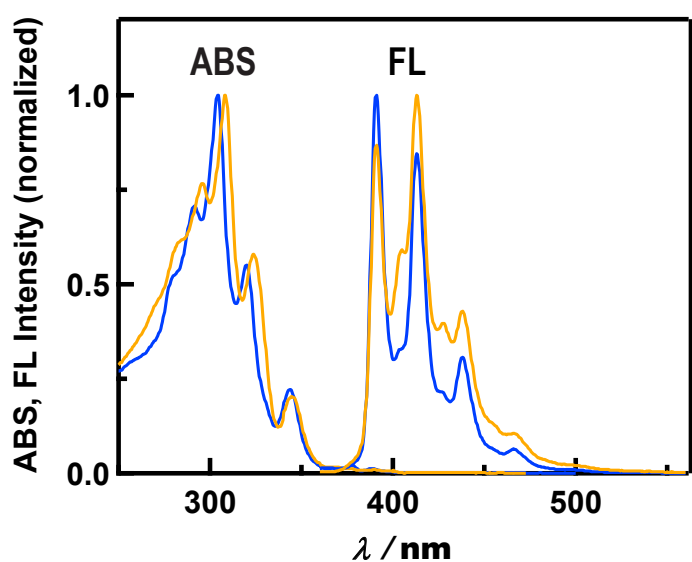


Fig. 4 Okamoto *et al.*

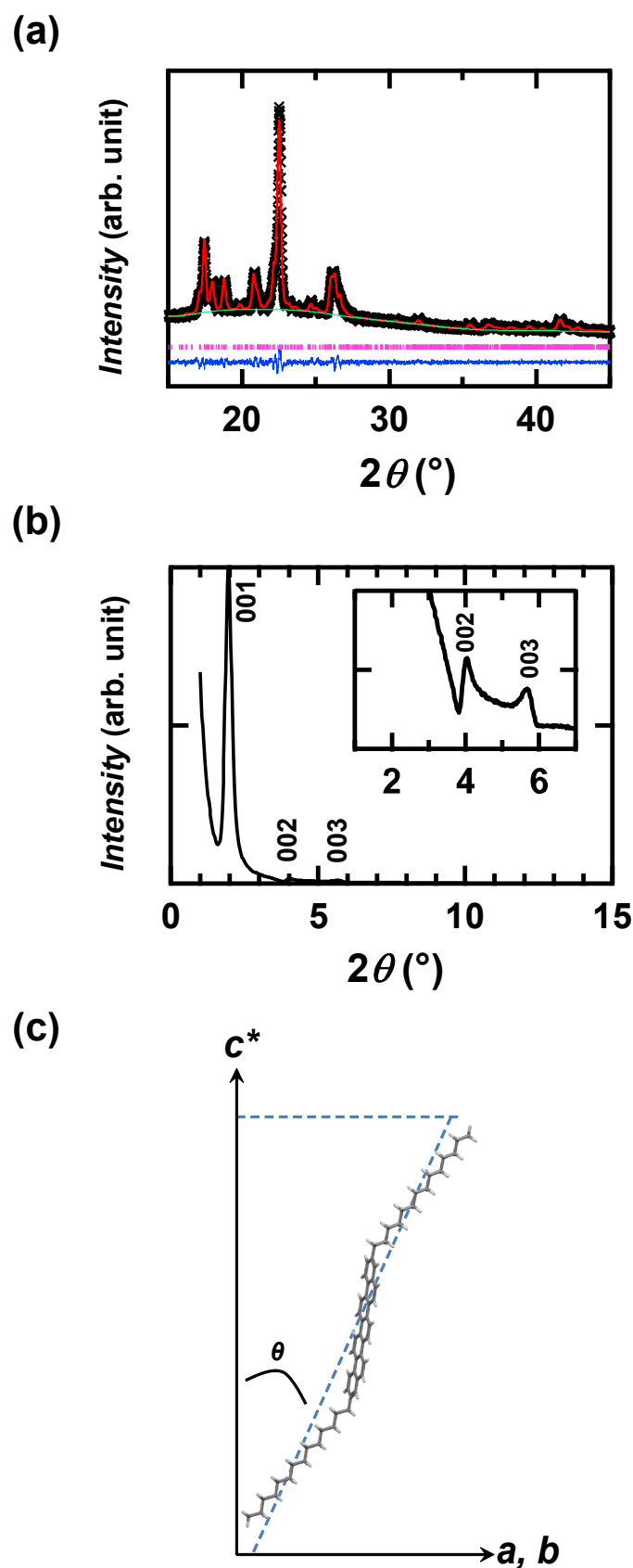


Fig. 5 Okamoto *et al.*

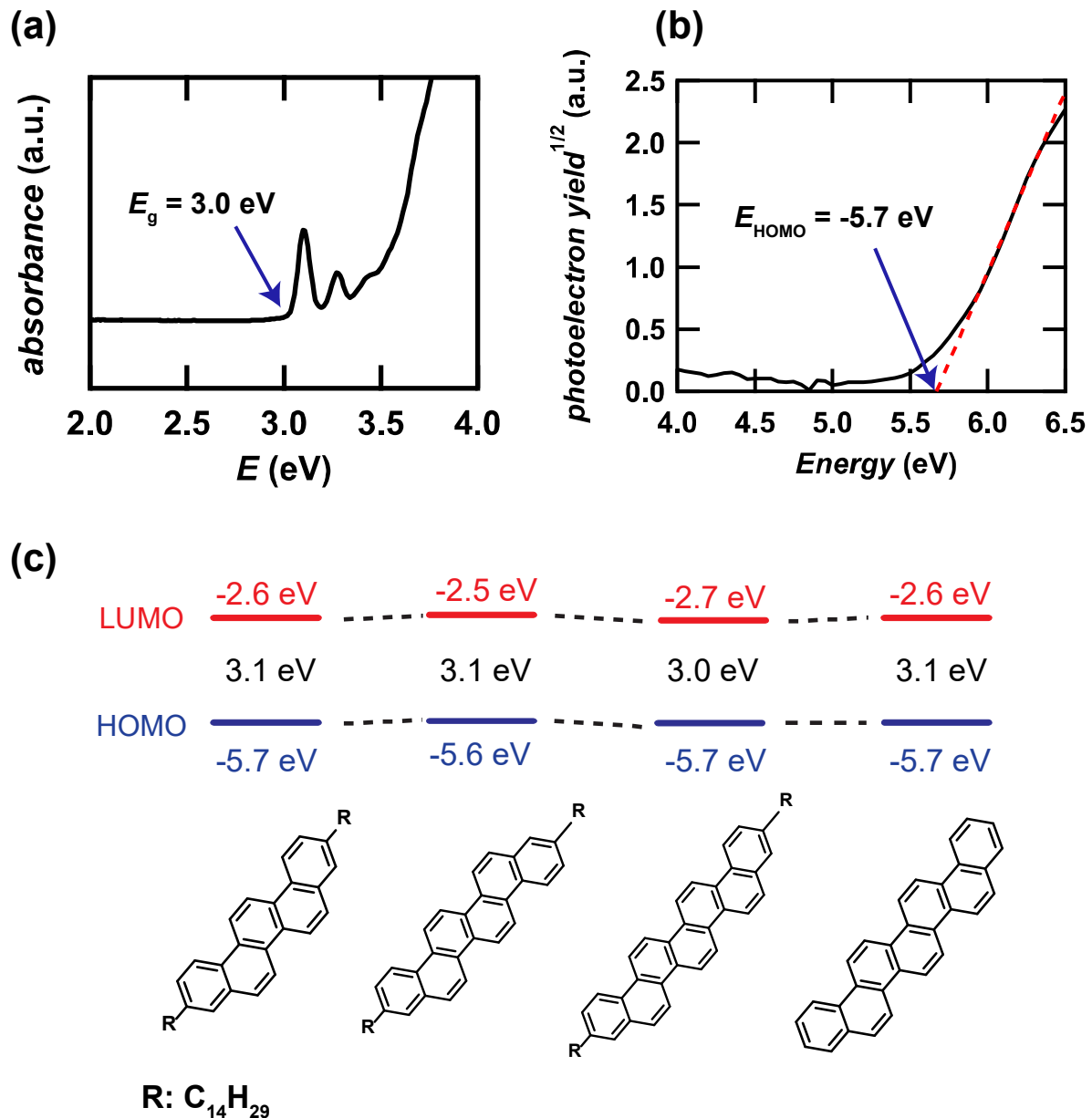


Fig. 6 Okamoto et al.

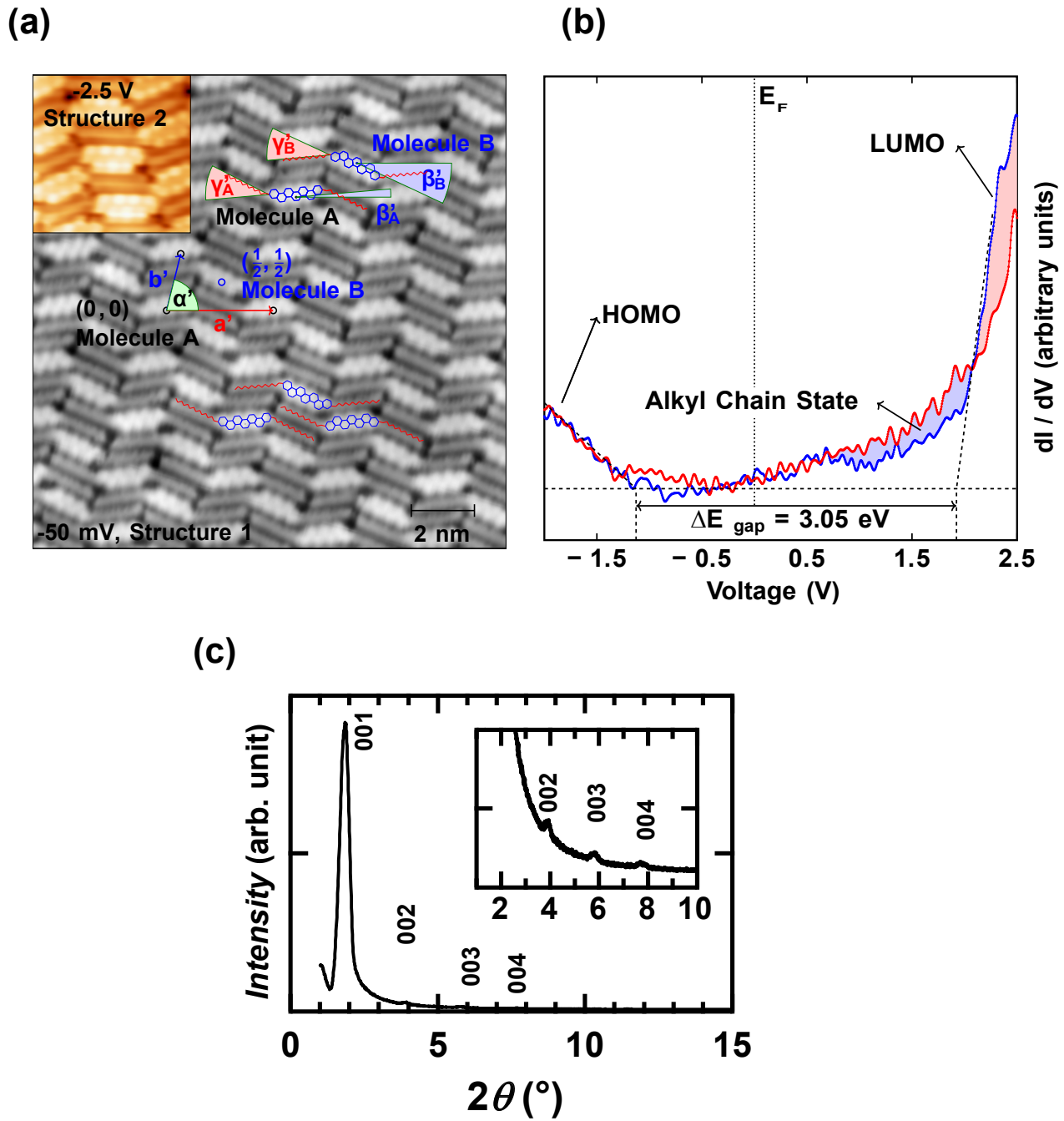


Fig. 7 Okamoto *et al.*

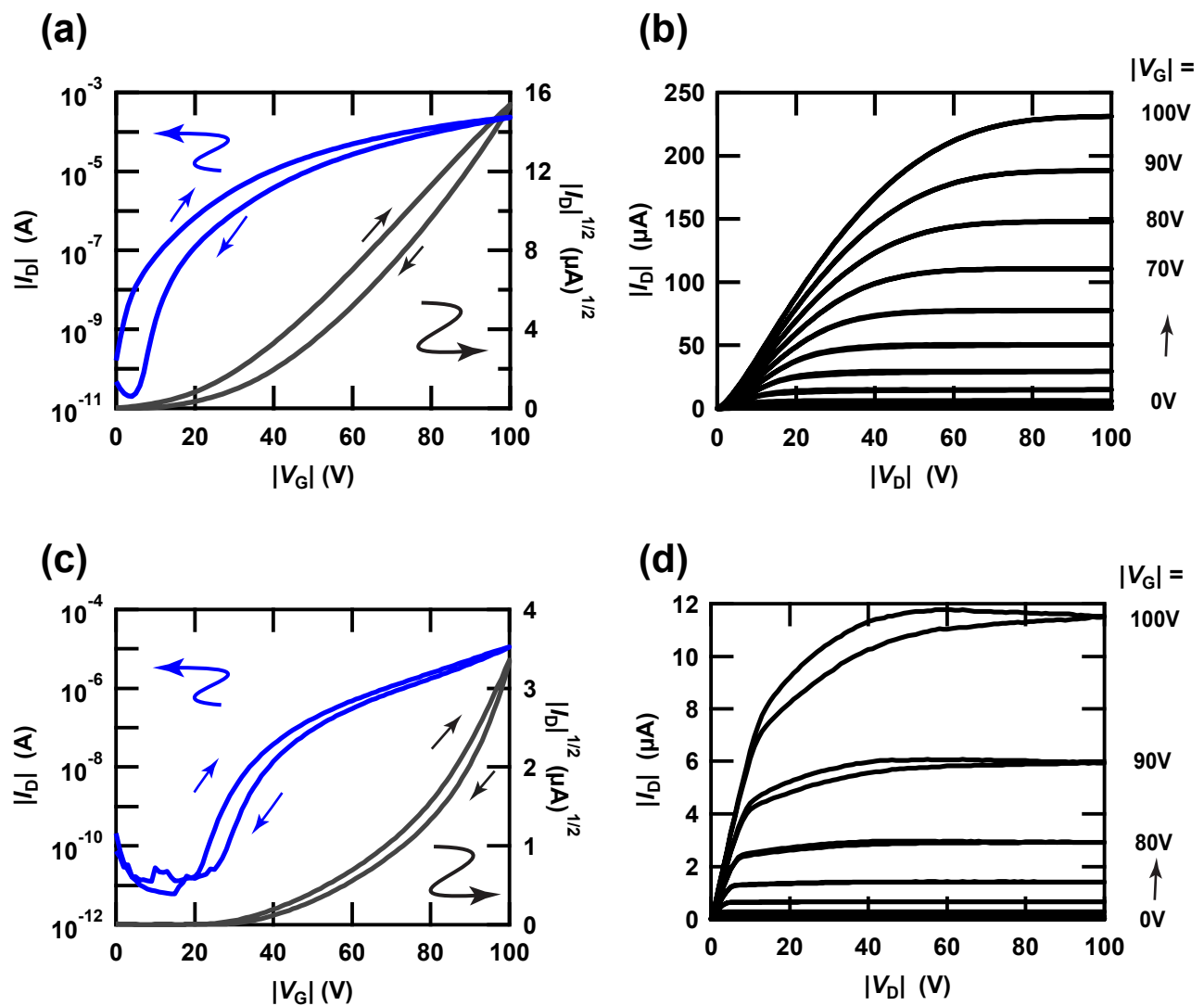


Figure 8. Okamoto *et al.*

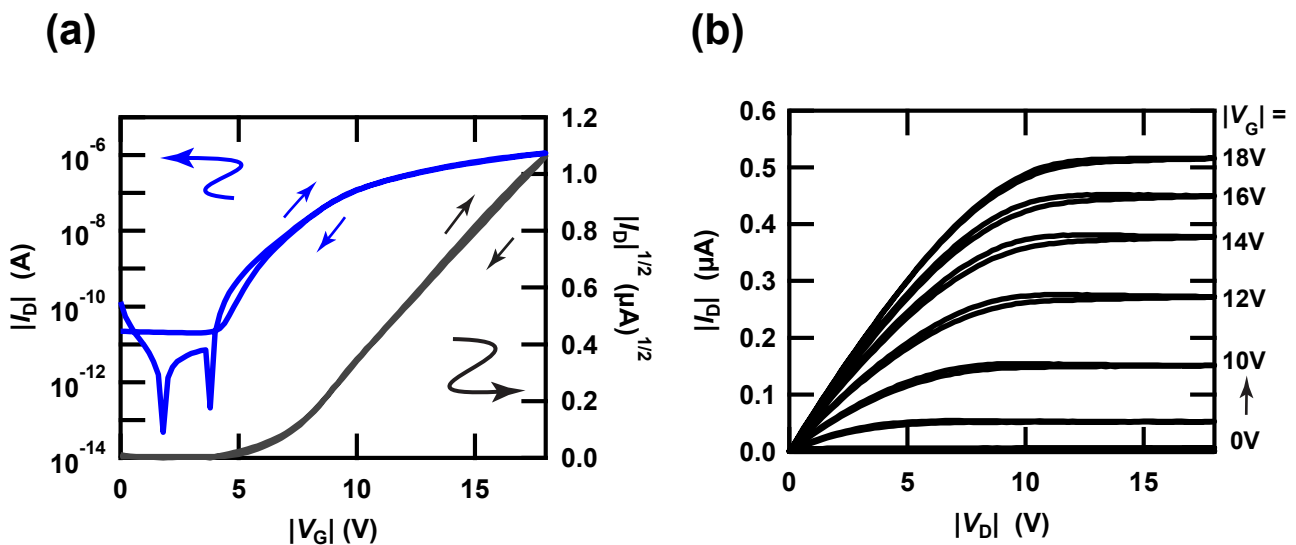


Fig. 9 Okamoto *et al.*

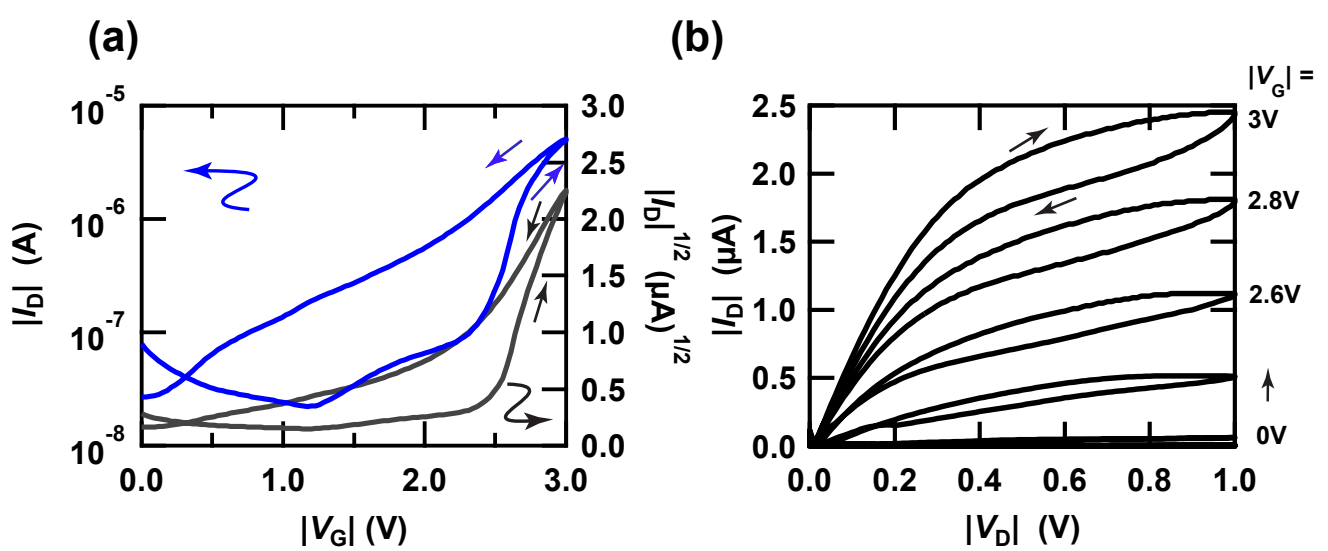


Fig. 10 Okamoto *et al.*